



# Mecânica do Voo

Voo retilíneo derrapado estabilizado





## Referências Bibliográficas

- **ITEN 2.2.1:** Paglione, P. ; Zanardi, M. C., [Estabilidade e Controle de Aeronaves](#), ITA, 1990.
- Bernard Etkin, Lloyd Duff Reid, [Dynamics of Flight – Stability and Control](#), John Wiley & Sons, 3ª Ed, 1996.
- STEVENS, Brian L.; LEWIS, Frank L. Aircraft control and simulation. 2nd ed. Hoboken: John Wiley & Sons, 2003.



## **2. Voo retilíneo derrapado estabilizado**

### **ITEM 2.2.1 APOSTILA**



**EQUAÇÕES DO MOVIMENTO LÁTERO DIRECIONAL**

$$mV_e \cos\beta(\dot{\beta} - p \operatorname{sen}\alpha_e + r \operatorname{cos}\alpha_e) = \frac{1}{2}\rho_e S V_e^2 (C_{y_\beta} \beta + C_{y_{\delta_a}} \delta_a + C_{y_{\delta_r}} \delta_r) + m g \operatorname{sen} \phi \cos \theta_e$$

$$I_x \dot{p} - I_{xz} \dot{r} + (I_z - I_y) r q_e - I_{xz} p q_e = \frac{1}{2} \rho_e S V_e^2 l \left( C_{l_\beta} \beta + C_{l_p} \frac{p l}{V_e} + C_{l_r} \frac{r l}{V_e} + C_{l_{\delta_a}} \delta_a + C_{l_{\delta_r}} \delta_r \right)$$

$$I_z \dot{r} - I_{xz} \dot{p} + (I_y - I_x) p q_e - I_{xz} r q_e = \frac{1}{2} \rho_e S V_e^2 l \left( C_{n_\beta} \beta + C_{n_p} \frac{p l}{V_e} + C_{n_r} \frac{r l}{V_e} + C_{n_{\delta_a}} \delta_a + C_{n_{\delta_r}} \delta_r \right)$$

$$\dot{\phi} = p + \operatorname{tg} \theta_e (q_e \operatorname{sen} \phi + r \operatorname{cos} \phi)$$

$$\dot{\psi} = \frac{q_e \operatorname{sen} \phi + r \operatorname{cos} \phi}{\operatorname{cos} \theta_e}$$



## CARACTERÍSTICAS DO AIRBUS

	$\beta$	$p$	$r$	$\delta_a$	$\delta_r$
$C_y$	$-1,5 < 0$	—	—	<b>0,05 ?</b>	$0,3 > 0$
$C_l$	$-1,3 < 0$	$-13 < 0$	$2,9 > 0$	$-0,33 < 0$	<b>0,25 &gt; 0</b>
$C_n$	$1,75 > 0$	$-1,5 < 0$	$-7,5 < 0$	<b><math>-0,125 &lt; 0</math></b>	<b><math>-1,00 &lt; 0</math></b>

## CARACTERÍSTICAS DO MIRAGE

	$\beta$	$p$	$r$	$\delta_a$	$\delta_r$
$C_y$	$-0,6 < 0$	—	—	<b>0,001 ?</b>	$0,075 > 0$
$C_l$	$-0,05 < 0$	$-0,25 < 0$	$0,06 > 0$	$-0,30 < 0$	<b>0,018 &gt; 0</b>
$C_n$	$0,180 > 0$	$0,055 \sim 0$	$-0,7 < 0$	<b>0</b>	$-0,085$



**ANTES DE ANALISAR AS RESPOSTAS DA AERONAVE AS ALTERÇÕES DE LEME E AIRELONS, VAMOS ANALISAR ALGUMAS TRAJETÓRIAS PARTICULARES DE VOOS ESTABILIZADOS:**

- **Voo retilíneo derrapado para avião simétrico**
- **Voo retilíneo derrapado para avião não simétrico**
- **Voo curvilíneo horizontal estabilizado**



### 3. VOO RETILÍNEO DERRAPADO ESTABILIZADO

Procura-se determinar quais são as posições (fixas) das superfícies de controle direcional e de rolamento,  $\delta_r$  e  $\delta_a$ , que permitem assegurar um voo retilíneo estabilizado com uma derrapagem  $\beta_e$  conhecida. Ou seja com:  $\dot{\beta} = \dot{\phi} = \dot{\psi} = p = r = 0$

#### 3.1. AVIÃO SIMÉTRICO

Considera-se a hipótese de que o sistema propulsivo não cria nenhum momento adicional.

$\delta_a$ ,  $\delta_r$  e  $\phi$  são determinadas pelas três equações do movimento:

$$\frac{1}{2} \rho_e S V_e^2 \left( C_{y_\beta} \beta + C_{y_{\delta_a}} \delta_a + C_{y_{\delta_r}} \delta_r \right) + m g \sin \phi_1 = 0$$

$$C_{l_\beta} \beta + C_{l_{\delta_a}} \delta_a + C_{l_{\delta_r}} \delta_r = 0$$

$$C_{n_\beta} \beta + C_{n_{\delta_a}} \delta_a + C_{n_{\delta_r}} \delta_r = 0$$



Sendo introduzido o ângulo  $\phi_1$  no lugar de  $\phi$  e  $\theta_e$ ,

$$\text{sen } \phi_1 = \text{sen } \phi \cos \theta_e \quad .$$

O ângulo  $\phi_1$  é o ângulo entre o eixo  $y$  e o plano horizontal, sendo que  $\text{sen } \phi_1$  projeta o eixo  $y$  no eixo vertical  $z_0$

Chamado de “**ângulo de declive**”. Os ângulos  $\phi_1$  e  $\phi$  são positivos quando o eixo  $y$  está abaixo do horizonte.

**Simplificação:** os efeitos parasitas das superfícies de controle sejam desprezíveis:

$$C_{l_{\delta_r}} = C_{n_{\delta_a}} = C_{y_{\delta_a}} = 0,$$





$$\frac{1}{2} \rho_e S V_e^2 (C_{y_\beta} \beta + C_{y_{\delta_r}} \delta_r) + m g \sin \phi_1 = 0$$

$$C_{l_\beta} \beta + C_{l_{\delta_a}} \delta_a = 0$$

$$C_{n_\beta} \beta + C_{n_{\delta_r}} \delta_r = 0$$

com  $\beta = \beta_e$  CONHECIDO:

$$\frac{\delta_r}{\beta_e} = - \frac{C_{n_\beta}}{C_{n_{\delta_r}}}$$



$$\frac{\delta_r}{\beta_e} > 0$$

Para  $\beta_e > 0$ , deflexão no leme deve ser positiva, pedal esquerdo.

$$\frac{\delta_a}{\beta_e} = - \frac{C_{l_\beta}}{C_{l_{\delta_a}}}$$



$$\frac{\delta_a}{\beta_e} < 0$$

Para  $\beta_e > 0$ , deflexão no aileron negativa, Aileron direito para cima, manche a direita.



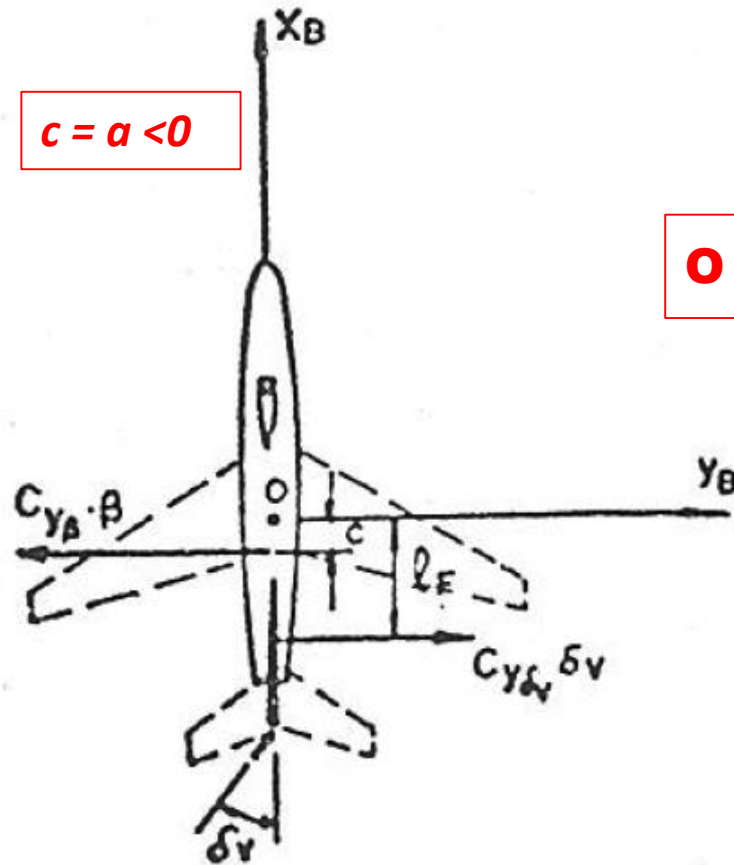
$$\frac{1}{2} \rho_e S V_e^2 (C_{y_\beta} \beta + C_{y_{\delta_r}} \delta_r) + m g \sen \phi_1 = 0$$

$$m g \sen \phi_1 = -\frac{1}{2} \rho_e S V_e^2 \left( C_{y_\beta} - C_{y_{\delta_r}} \frac{C_{n_\beta}}{C_{n_{\delta_r}}} \right) \beta_e$$

$$m g \sen \phi_1 = -\frac{1}{2 C_{n_{\delta_r}}} \rho_e S V_e^2 (C_{n_{\delta_r}} C_{y_\beta} - C_{y_{\delta_r}} C_{n_\beta}) \beta_e$$

$$\frac{\sen \phi_1}{\beta_e} = -\frac{1}{2 m g C_{n_{\delta_r}}} \rho_e S V_e^2 (C_{n_{\delta_r}} C_{y_\beta} - C_{y_{\delta_r}} C_{n_\beta})$$

$C_{n_{\delta_r}} < 0$ , a relação  $\sen \phi_1 / \beta_e$  tem o mesmo sinal de  $(C_{y_\beta} C_{n_{\delta_r}} - C_{y_{\delta_r}} C_{n_\beta})$ .



$$c = a < 0$$

$$l_F < 0$$

$$|l_F| \gg |a|$$

**Vamos analisar 2 termos:**

$$\frac{1}{2} \rho_e S V_e^2 C_{n_\beta} \quad \text{e} \quad \frac{1}{2} \rho_e S V_e^2 C_{n_{\delta_r}}$$

**O momento  $\frac{1}{2} \rho_e S V_e^2 l C_{n_\beta} \beta$  é devido à força lateral.**

**O momento da força lateral  $F_y$  é dado por:**

$$\frac{1}{2} \rho_e S V_e^2 C_{y_\beta} \beta a$$

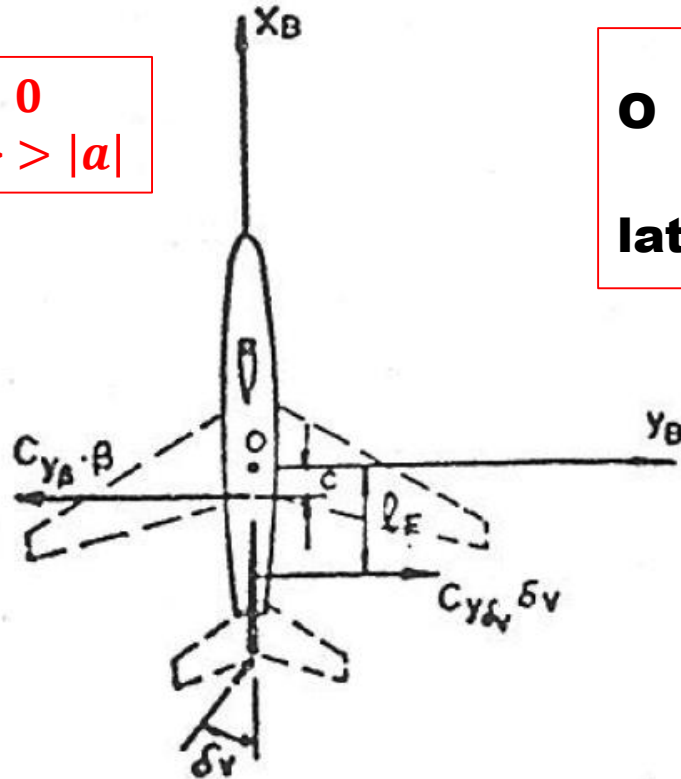
$$\frac{1}{2} \rho_e S V_e^2 l C_{n_\beta} \beta = \frac{1}{2} \rho_e S V_e^2 C_{y_\beta} \beta a$$

$$l C_{n_\beta} = C_{y_\beta} a$$

$$C_{n_\beta} = \frac{a}{l} C_{y_\beta}$$

$$l_F < 0$$

$$|l_F| \gg |a|$$



O momento  $\frac{1}{2} \rho_e S V_e^2 l C_{n_{\delta_r}} \delta_r$  é devido à força lateral  $\frac{1}{2} \rho_e S V_e^2 C_{y_{\delta_r}} \delta_r$

$$\frac{1}{2} \rho_e S V_e^2 l C_{n_{\delta_r}} \delta_r = \frac{1}{2} \rho_e S V_e^2 C_{y_{\delta_r}} \delta_r l_F$$

$$l C_{n_{\delta_r}} = l_F C_{y_{\delta_r}}$$

$$C_{n_{\delta_r}} = \frac{l_F}{l} C_{y_{\delta_r}}$$

$$C_{y_{\beta}} C_{n_{\delta_r}} - C_{y_{\delta_r}} C_{n_{\beta}} = C_{y_{\beta}} \frac{l_F}{l} C_{y_{\delta_r}} - C_{y_{\delta_r}} \frac{a}{l} C_{y_{\beta}} = \frac{l_F - a}{l} C_{y_{\beta}} C_{y_{\delta_r}} > 0$$

$$\frac{\sin \phi_1}{\beta_e} > 0 \text{ para } \beta_e > 0, \phi_1 > 0$$



**Logo para manter um voo retilíneo derrapado com  $\beta_e > 0$ :**

$$\delta_r > 0$$

**Deflexão no leme deve ser positiva, pedal esquerdo.**

$$\delta_a < 0$$

**Deflexão no aileron negativa, Aileron direito para cima, manche a direita.**

$$\phi_1 > 0$$

**Ângulo de declive positivo, asa direita abaixada**



**Sem as hipóteses simplificadoras, da resolução do sistema de três equações que determinam  $\delta_a$ ,  $\delta_r$  e  $\phi_1$  em função de  $\beta_e$ :**

$$\delta_r = \beta_e \frac{C_{l\beta} C_{n\delta_a} - C_{n\beta} C_{l\delta_a}}{C_{n\delta_r} C_{l\delta_a} - C_{n\delta_a} C_{l\delta_r}}$$

$$\delta_a = \beta_e \frac{C_{n\beta} C_{l\delta_r} - C_{l\beta} C_{n\delta_r}}{C_{n\delta_r} C_{l\delta_a} - C_{n\delta_a} C_{l\delta_r}}$$

e

$$\text{sen } \phi_1 = - \frac{\rho_e S V_e^2 \beta_e}{2m g} \left( C_{y\beta} + \frac{(C_{l\beta} C_{n\delta_a} - C_{n\beta} C_{l\delta_a}) C_{y\delta_r} + (C_{n\beta} C_{l\delta_r} - C_{l\beta} C_{n\delta_r}) C_{y\delta_a}}{C_{n\delta_r} C_{l\delta_a} - C_{n\delta_a} C_{l\delta_r}} \right)$$



## Exemplos

### AIRBUS

$H = 1000m$	$V_e = 100 m/s$	$m = 120000 kg$
$S = 260 m^2$	$l = 6,61$	$\beta_e = +5^\circ$
$C_{y_\beta} = -1,5$	$C_{l_\beta} = -1,3$	$C_{n_\beta} = 1,75$
$C_{y_{\delta_a}} = 0,05$	$C_{l_{\delta_a}} = -0,33$	$C_{n_{\delta_a}} = -0,125$
$C_{y_{\delta_r}} = 0,3$	$C_{l_{\delta_r}} = 0,25$	$C_{n_{\delta_r}} = -1,0$

**Considere:  $g = 9.804 m/s^2$  e  $\rho = 1,112 kg/m^3$**

**Calcule:  $\phi_1 = ?$   $\delta_a = ?$   $\delta_r = ?$**



## MIRRAGE

$H = 1000 \text{ m}$	$V_e = 242,54 \frac{m}{s} (M = 0,8)$	$m = 7400 \text{ kg}$
$S = 36 \text{ m}^2$	$l = 5,25$	$\beta_e = 1^\circ$
$C_{y_\beta} = -0,6$	$C_{l_\beta} = -0,05$	$C_{n_\beta} = 0,180$
$C_{y_{\delta_a}} = 0,001$	$C_{l_{\delta_a}} = -0,30$	$C_{n_{\delta_a}} = 0$
$C_{y_{\delta_r}} = 0,075$	$C_{l_{\delta_r}} = 0,018$	$C_{n_{\delta_r}} = -0,085$

$$\phi_1 = ? \quad ; \quad \delta_a = ? \quad e \quad \delta_r = ?$$



**Nota-se que tendo o avião Mirage III um momento de rolamento devido à deflexão do leme de direção (i.e.  $C_{l_{\delta_r}}$ ) **BEM MENORES DO QUE PARA O AIRBUS**, relativamente ao efeito de diedro  $C_{l_{\beta}}$ , explica-se, então, o fato de ser o ângulo **deflexão do aileron é menos importante para o Mirage III (i.e. menor) do que para o AIRBUS**. Reduzindo-se o efeito de diedro do Mirage III de  $-0,05$  para  $-0,025$ , a posição dos comandos será inversa:**

$$\phi_1 = 3,30^\circ \quad ; \quad \delta_a = 0,036^\circ \quad e \quad \delta_r = 1,77^\circ$$